

# Аномальные тройные и четверные вершины в электрослабой модели

Артур Семушин

НИЯУ МИФИ

18.06.2024

Научный руководитель: к.ф.-м.н. Солдатов Е.Ю.

# Мотивация: эффективная теория поля

Поиск аномальных вершин — модельнонезависимый, косвенный поиск новой физики.

Эффективная теория поля параметризует лагранжиан операторами высших размерностей, описывающими аномальные вершины с уже известными частицами.

$$\mathcal{L} = \mathcal{L}_{\text{SM}} + \mathcal{L}_5 + \mathcal{L}_6 + \mathcal{L}_7 + \mathcal{L}_8 + \dots, \quad \mathcal{L}_d = \sum_i \frac{C_i^{(d)}}{\Lambda^{d-4}} \mathcal{O}_i^{(d)}$$

Для постановки наиболее строгих ограничений на коэффициенты Вильсона и, следовательно, для более строго ограничения моделей новой физики, необходимо увеличивать чувствительность не только за счет увеличения светимости.

Амплитуда в случае параметризации одним оператором:

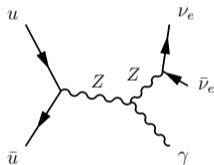
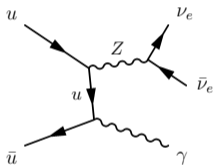
$$|\mathcal{A}|^2 = |\mathcal{A}_{\text{SM}}|^2 + \frac{C}{\Lambda^4} 2\text{Re} \mathcal{A}_{\text{SM}}^\dagger \mathcal{A}_{\text{BSM}} + \frac{C^2}{\Lambda^8} |\mathcal{A}_{\text{BSM}}|^2$$

Данные слагаемые по-отдельности позволяет генерировать MadGraph5.

# Мотивация: инклюзивное рождение $Z$ -бозона с фотоном

Рассматриваемый процесс: инклюзивное рождение  $Z(\nu\bar{\nu})\gamma$  в  $pp$ -столкновениях в эксперименте ATLAS (второй сеанс работы, 2015-2018,  $140 \text{ fb}^{-1}$ ).

Обладает высокой чувствительностью к нейтральным трехбозонным вершинам, запрещенным в СМ.



Эти вершины параметризуются с помощью специального базиса операторов размерности 8:

$$\mathcal{O}_{\tilde{B}W} = i\Phi^\dagger \tilde{B}_{\mu\nu} \hat{W}^{\mu\rho} \{D_\rho, D^\nu\} \Phi + \text{h.c.}, \quad \mathcal{O}_{BW} = i\Phi^\dagger B_{\mu\nu} \hat{W}^{\mu\rho} \{D_\rho, D^\nu\} \Phi + \text{h.c.},$$

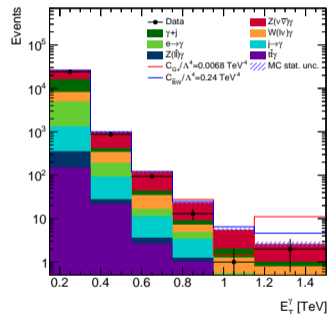
$$\mathcal{O}_{BB} = i\Phi^\dagger B_{\mu\nu} B^{\mu\rho} \{D_\rho, D^\nu\} \Phi + \text{h.c.}, \quad \mathcal{O}_{WW} = i\Phi^\dagger \hat{W}_{\mu\nu} \hat{W}^{\mu\rho} \{D_\rho, D^\nu\} \Phi + \text{h.c.},$$

$$\mathcal{O}_{G\pm} = \frac{2}{g} \tilde{B}_{\mu\nu} \text{Tr} \left[ \hat{W}^{\mu\rho} \left( D_\rho D_\lambda \hat{W}^{\nu\lambda} \pm D^\nu D^\lambda \hat{W}^{\lambda\rho} \right) \right].$$

# Одномерные пределы, нарушение унитарности

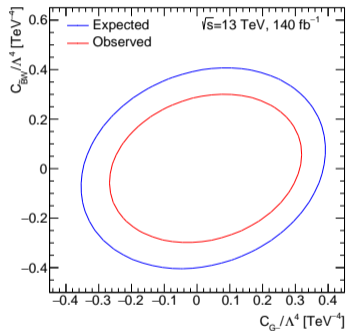
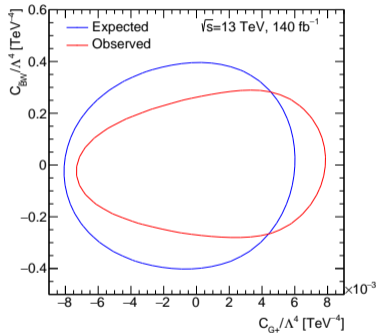
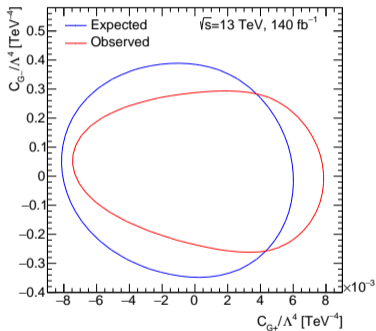
- Для моделирования аномальных вкладов в сечение (генерации наборов событий) была создана модель (в FeynRules), включающая в себя все рассматриваемые операторы. Модель была проверена, одобрена коллаборацией ATLAS и использована для создания наборов событий с полной симуляцией детектора.

Coef.	Exp. limits [ $\text{TeV}^{-4}$ ]	Obs. limits [ $\text{TeV}^{-4}$ ]	$\sqrt{s_{\text{max}}}$ [TeV]
$C_{G+}/\Lambda^4$	[-0.0065; 0.0047]	[-0.0045; 0.0068]	11.2
$C_{G-}/\Lambda^4$	[-0.30; 0.34]	[-0.21; 0.27]	22.3
$C_{\tilde{B}W}/\Lambda^4$	[-0.35; 0.34]	[-0.25; 0.24]	15.8
$C_{BW}/\Lambda^4$	[-0.63; 0.63]	[-0.45; 0.45]	19.9
$C_{BB}/\Lambda^4$	[-0.25; 0.25]	[-0.18; 0.18]	25.5
$C_{WW}/\Lambda^4$	[-1.3; 1.3]	[-0.90; 0.90]	16.2



- Операторы имеют высокие размерности  $\implies$  в теории нарушается унитарность.
- В последнем столбце — энергия начального/конечного состояния в системе центра масс, при которой нарушается унитарность.
- Установленные в работе пределы не нарушают унитарность в терминах унитарности парциальных волн.

# Двумерные пределы



# Учет аномальных вкладов фонового процесса

- Ненулевой коэффициент Вильсона влияет на все физические процессы.
- Кроме сигнального процесса ( $Z(\nu\bar{\nu})\gamma$ ), значительный аномальный вклад содержит фон  $W(l\nu)\gamma$ .

Оператор	ZZZ	ZZ $\gamma$	Z $\gamma\gamma$	$\gamma\gamma\gamma$	WWZ	WW $\gamma$
$\mathcal{O}_{\tilde{B}W}, \mathcal{O}_{BW}$	○	○	○		○	○
$\mathcal{O}_{BB}$	○	○	○			
$\mathcal{O}_{WW}$	○	○	○		○	
$\mathcal{O}_{G+}, \mathcal{O}_{G-}$	○	○	○	○	○	○

Coef.	Exp. limits [TeV <sup>-4</sup> ]	Improvement, exp.	Obs. limits [TeV <sup>-4</sup> ]	Improvement, obs.
$C_{G+}/\Lambda^4$	[-0.0061; 0.0045]	4.9%	[-0.0044; 0.0063]	4.7%
$C_{\tilde{B}W}/\Lambda^4$	[-0.33; 0.32]	6.4%	[-0.23; 0.22]	5.8%
$C_{BW}/\Lambda^4$	[-0.60; 0.60]	5.1%	[-0.42; 0.42]	5.6%

- Возможная проблема подхода: фон  $W(l\nu)\gamma$  оценивается получением нормировочного множителя из фита в контрольном регионе. Этот множитель может содержать все возможные аномальные вклады.
- Возможный ответ на критику: наибольший вклад в фит в контрольном регионе вносят события с большим количеством событий SM, поэтому он не чувствителен к аномальным вершинам.

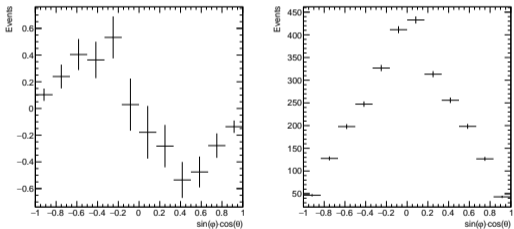
# Исследования CP-нарушения

- Для получения пределов использовалась нечувствительная к CP-нарушению переменная  $\implies$  пределы на коэффициенты Вильсона ставились только по CP-сохраняющим вкладам.
- CP-чувствительная переменная — такая переменная, которая позволит разделить интерференцию на положительный и отрицательный вклады.
- Каналы, рассматриваемые для данного исследования:  $Z(\nu\bar{\nu})\gamma$ ,  $ZZ(\ell\ell\nu\bar{\nu})$ ,  $Z(\ell\ell)\gamma$  (ранее такие переменные не использовались ни в одном из этих каналов).

# Угловые CP-чувствительные переменные

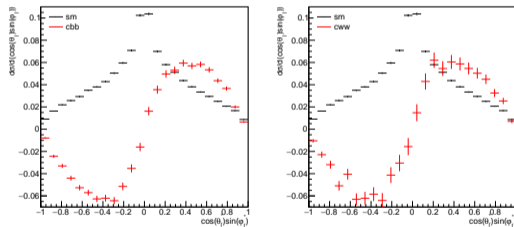
- Необходимо измерить направление вылета лептона в специальной системе координат (делается буст и поворот осей). Переменная:  $\sin \varphi \cos \theta$ .
- Неприменимо в канале  $Z(\nu\bar{\nu})\gamma$ .

## $ZZ(\ell\ell\nu\bar{\nu})$



- Коэффициент:  $C_{BB}/\Lambda^4$ .
- Неидеальное восстановление переменной.
- Оценены пределы:  $[-300; 300] \text{ ТэВ}^{-4}$ .

## $Z(\ell\ell)\gamma$



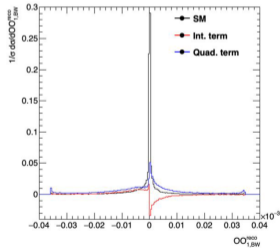
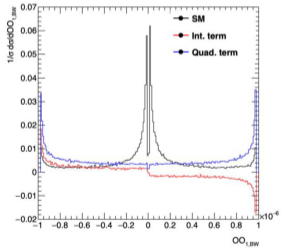
- Коэффициенты:  $C_{BB}/\Lambda^4, C_{WW}/\Lambda^4$ .



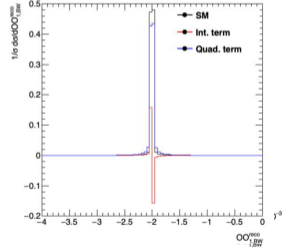
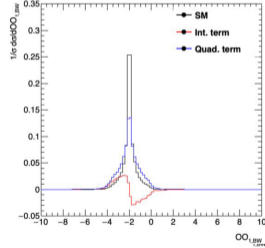
# Оптимальные наблюдаемые

- Интерференционная оптимальная наблюдаемая:  $OO_1 = 2\text{Re}(\mathcal{M}_{\text{SM}}^* \mathcal{M}_{\text{BSM}}) / |\mathcal{M}_{\text{SM}}|^2$ .
- В случае, если конечный  $Z$ -бозон не идентифицируется, его продольный импульс зануляется для восстановления данной переменной.
- Рассмотрена в каналах  $Z(\nu\bar{\nu})\gamma$ ,  $ZZ(\ell\ell\nu\bar{\nu})$ .

$Z(\nu\bar{\nu})\gamma$



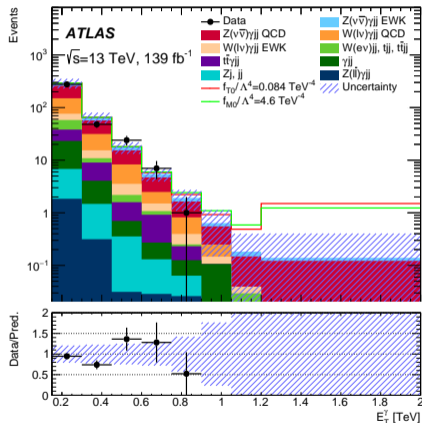
$ZZ(\ell\ell\nu\bar{\nu})$



- Коэффициент:  $C_{BW}/\Lambda^4$ .
- Начальное состояние — не  $pp$ , а  $i\bar{i}$ . Необходимо суммирование по начальным состояниям и интегрирование по их энергиям.

# Пересмотр пределов на аномальные четверные вершины [1]

- Рассматриваемое конечное состояние:  
 $Z(\nu\bar{\nu})\gamma jj$ .
- Предыдущая структура функции правдоподобия — 1 бин:
  1.  $E_T^\gamma > 900$  ГэВ, неунитаризованные пределы.
  2.  $E_T^\gamma > 600$  (400) ГэВ, унитаризованные пределы.
- Неудобно для комбинации разных каналов.
- Новая структура — 8 бинов.



# Пересмотр пределов на аномальные четверные вершины [2]

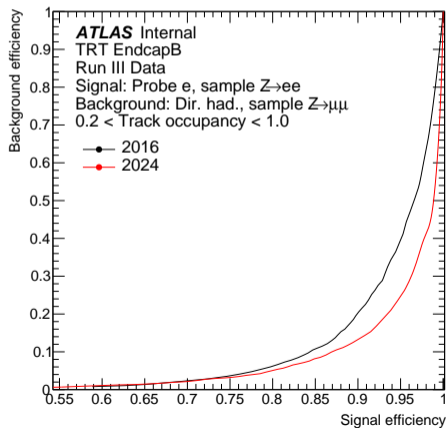
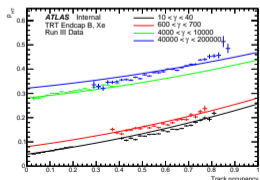
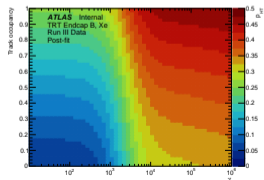
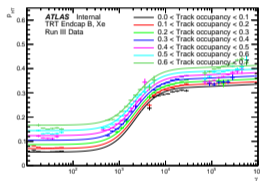
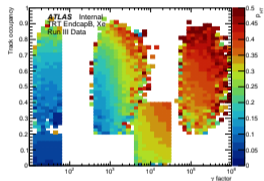
1 бин с  $E_T^\gamma > 900$  GeV, опубликованное

8 бинов, новые, для комбинации

Coefficient	Observed [TeV <sup>-4</sup> ]	Expected [TeV <sup>-4</sup> ]	Coefficient	Observed [TeV <sup>-4</sup> ]	Expected [TeV <sup>-4</sup> ]
$f_{T0}/\Lambda^4$	[-0.094; 0.084]	[-0.13; 0.12]	$f_{T0}/\Lambda^4$	[-0.093; 0.084]	[-0.11; 0.10]
$f_{T5}/\Lambda^4$	[-0.088; 0.099]	[-0.12; 0.13]	$f_{T5}/\Lambda^4$	[-0.088; 0.098]	[-0.11; 0.12]
$f_{T8}/\Lambda^4$	[-0.059; 0.059]	[-0.081; 0.080]	$f_{T8}/\Lambda^4$	[-0.059; 0.059]	[-0.072; 0.072]
$f_{T9}/\Lambda^4$	[-0.13; 0.13]	[-0.17; 0.17]	$f_{T9}/\Lambda^4$	[-0.13; 0.13]	[-0.15; 0.15]
$f_{M0}/\Lambda^4$	[-4.6; 4.6]	[-6.2; 6.2]	$f_{M0}/\Lambda^4$	[4.6; 4.6]	[-5.7; 5.7]
$f_{M1}/\Lambda^4$	[-7.7; 7.7]	[-10; 10]	$f_{M1}/\Lambda^4$	[-7.7; 7.6]	[-9.5; 9.5]
$f_{M2}/\Lambda^4$	[-1.9; 1.9]	[-2.6; 2.6]	$f_{M2}/\Lambda^4$	[-1.9; 1.9]	[-2.3; 2.3]

# Калибровка метода правдоподобия идентификации электронов в TRT

- Предыдущая калибровка была сделана в 2016 году.
- Метод базируется на разной вероятности испустить фотоны переходного излучения у электронов и пионов.



# Заключение

## Результаты:

- Поставлены предварительные ожидаемые и наблюдаемые пределы на  $b$  коэффициентов Вильсона нейтральных трехбозонных вершин для процесса рождения  $Z(\nu\bar{\nu})\gamma$ . Они являются более точными, чем установленные и опубликованные ранее.
- Пределы проверены на унитарность (все унитаризованы) и на улучшение с помощью аномальных вкладов фона (улучшение 5%).
- Восстановлены два типа CP-чувствительных переменных для трех разных каналов. Планируется их использование при установке пределов и поиске CP-нарушения (впервые).
- Улучшены пределы на аномальные четырехбозонные вершины, усовершенствована структура правдоподобия для комбинации анализов.
- Завершена калибровка метода правдоподобия идентификации частиц в TRT.

## Планы:

- Работа над оптимальными наблюдаемыми для анализа  $Z(\nu\bar{\nu})\gamma$  (поиск CP-нарушения).
- Усовершенствование идентификации частиц в TRT.

# BACK-UP

# Используемые статистический метод и тестовая статистика

Тестовая статистика:  $t_\mu = -2 \ln \lambda(\mu)$ .

$$\lambda(\mu) = \frac{L(\mu, \hat{\theta}(f))}{L(\hat{\mu}, \hat{\theta})} \text{ — отношение правдоподобия.}$$

Метод  $CL_{s+b}$ : доверительный интервал — регион в пространстве параметров интереса  $\mu$ , в котором

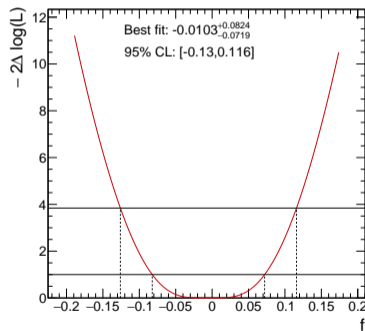
$$p_\mu = \int_{t_\mu^{\text{obs}}}^{\infty} f(t_\mu | \mu) dt_\mu > \alpha = 0.05.$$

В пределе большой выборки распределение тестовой статистики  $f(t_\mu | \mu)$  сходится к распределению  $\chi^2_{\text{dim}(\mu)}$ .

Нахождение пределов (95% CL) сводится к условию  $t_\mu = 3.84$ .

Параметр интереса:  $f_{T0}/\Lambda^4$ .

Регион:  $E_T^\gamma > 900$  ГэВ.



# Функция правдоподобия

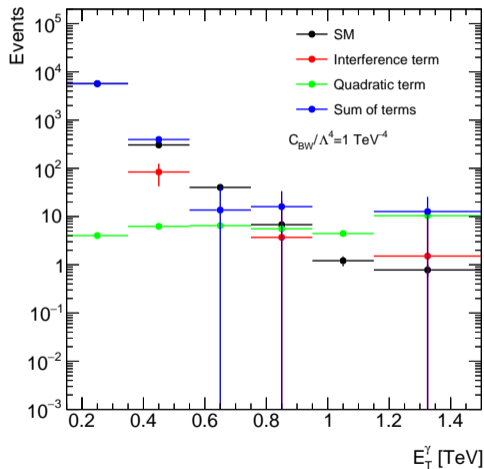
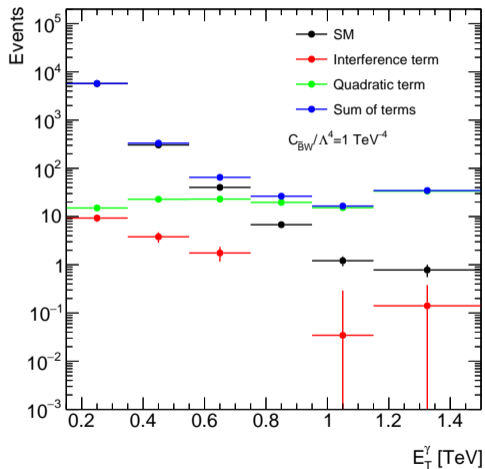
$$L(\boldsymbol{\mu}, \boldsymbol{\theta}) = \prod_i \frac{(N_{\text{pred}}^i(\boldsymbol{\mu}, \boldsymbol{\theta}))^{N_{\text{data}}^i}}{N_{\text{data}}^i!} e^{-N_{\text{pred}}^i(\boldsymbol{\mu}, \boldsymbol{\theta})} \times \prod_j \frac{1}{\sqrt{2\pi}} e^{-\theta_j^2/2}, \quad (1)$$

$$N_{\text{pred}}(\boldsymbol{\mu}, \boldsymbol{\theta}) = \left( N_0(1 + \sigma_0\theta_0) + \frac{f}{\Lambda^4} N_1(1 + \sigma_1\theta_1) + \frac{f^2}{\Lambda^8} N_2(1 + \sigma_2\theta_2) \right) \times (1 + \sigma_{\text{sys}}\theta_{\text{sys}}) \quad (2)$$

$$N_{\text{pred}}(\boldsymbol{\mu}, \boldsymbol{\theta}) = \left( N_0(1 + \sigma_0\theta_0) + \frac{f_1}{\Lambda^4} N_{1,1}(1 + \sigma_{1,1}\theta_{1,1}) + \frac{f_2}{\Lambda^4} N_{1,2}(1 + \sigma_{1,2}\theta_{1,2}) + \frac{f_1^2}{\Lambda^8} N_{2,1}(1 + \sigma_{2,1}\theta_{2,1}) + \frac{f_2^2}{\Lambda^8} N_{2,2}(1 + \sigma_{2,2}\theta_{2,2}) + \frac{f_1 f_2}{\Lambda^8} N_{12}(1 + \sigma_{12}\theta_{12}) \right) \times (1 + \sigma_{\text{sys}}\theta_{\text{sys}}) \quad (3)$$



# Декомпозиция



# 2D limits

